

Теория магнитоэлектрического эффекта в гетерогенных структурах на основе ферромагнетик—пьезоэлектрик

© Д.А. Филиппов

Новгородский государственный университет им. Ярослава Мудрого,
173003 Великий Новгород, Россия

(Поступила в Редакцию 4 июня 2004 г.
В окончательной редакции 27 августа 2004 г.)

Представлена теория магнитоэлектрического эффекта в двухслойных структурах на основе ферромагнетик—пьезоэлектрик для образцов в виде пластинок. Получено выражение для магнитоэлектрического коэффициента по напряжению через параметры, характеризующие магнитную и пьезоэлектрическую фазы. Показано, что в области электромеханического резонанса наблюдается значительное усиление магнитоэлектрического коэффициента. Получено соотношение между толщиной ферромагнетика и пьезоэлектрика, при котором наблюдается максимальное значение магнитоэлектрического коэффициента. Приведены результаты расчета коэффициента для структур на основе пермендюр–ЦТС и сравнение полученных результатов с экспериментальными данными.

Работа выполнена при частичной поддержке гранта Министерства образования РФ (Е02-3.4-278) и программы Университеты России (проект УР 01.01.007).

Композиционные магнитоэлектрические (МЭ) материалы представляют собой механически взаимодействующие смеси магнитострикционной и пьезоэлектрической компонент. Наличие МЭ эффекта в композиционных материалах обусловлено механическим взаимодействием магнитной и пьезоэлектрической подсистем. В магнитном поле вследствие магнитострикции в магнетике возникают механические колебания, которые передаются в пьезоэлектрическую фазу и благодаря пьезоэффекту вызывают поляризацию. Поскольку в магнитострикционных пьезоэлектрических композитах МЭ эффект связан с механическим взаимодействием подсистем, в области электромеханического резонанса наблюдается значительное увеличение магнитоэлектрического коэффициента [1–6]. Если масштабы изменения внешних воздействий много больше характерных размеров композиционных материалов, такие материалы можно рассматривать как гомогенные среды с некоторыми эффективными параметрами [7]. В [3–5] представлены теория МЭ эффекта для феррит-пьезоэлектрических композитов, основанная на методе эффективных параметров материала, и экспериментальные результаты для образцов в форме диска и пластинки на основе никелевой феррошпинели — цирконата-титаната свинца (ЦТС). Использование в качестве магнитной фазы ферромагнетика с большими константами магнитострикции, чем у феррита, позволяет повысить значение магнитоэлектрического коэффициента. В [6] приведены экспериментальные исследования структур пермендюр–ЦТС–пермендюр. В этом случае композиционный материал уже нельзя считать гомогенной средой, и указанная выше теория неприменима. В настоящей работе получено выражение для магнитоэлектрического коэффициента для случая гетерогенных композитов.

В качестве модели рассмотрим образец в форме пластинки из двухслойного композиционного материала, представляющего собой механическое соединение

ферромагнетика (m) и пьезоэлектрика (p) (рис. 1). На внешних поверхностях пьезоэлектрика и ферромагнетика нанесены металлические контакты, толщину которых будем считать пренебрежимо малой. Пусть образец поляризован по нормали к плоскостям контактов (ось X_3). Постоянное (подмагничивающее) и переменное магнитные поля могут быть направлены как по нормали к плоскости контактов, так и в плоскости контактов вдоль оси X_1 . В соответствии с этим будем различать продольный и поперечный МЭ эффекты.

Переменное магнитное поле вследствие магнитострикции вызывает колебания в ферромагнетике, которые распространяются как по толщине образца, так и в плоскости. Ограничимся рассмотрением только объемных колебаний, распространяющихся вдоль пластинки, так как они являются наиболее низкочастотными.

Будем считать, что толщина ${}^m h + {}^p h$ и ширина W пластинки много меньше ее длины L . Поскольку грани пластинки свободные, напряжения на ее поверхностях равны нулю. Поскольку пластинка тонкая и узкая, можно считать, что компоненты напряжений T_2 и T_3 равны нулю не только на поверхностях, но и во всем объеме и отличной от нуля компонентой тензора напряжений будет только T_1 . Вследствие эквипотенциальности верхней и нижней граней пластинки отличной от нуля компонен-

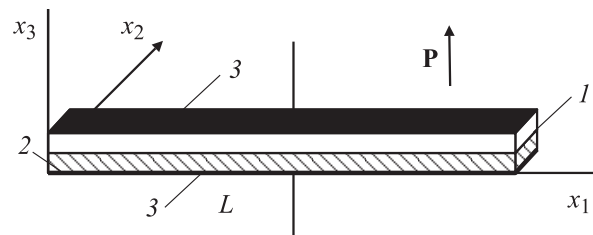


Рис. 1. Схематическое изображение структуры. Стрелка указывает направление поляризации P . 1 — пьезоэлектрик, 2 — ферромагнетик, 3 — металлические контакты.

той вектора напряженности электрического поля будет только E_3 . Уравнения для тензора деформаций ${}^m S_i$ в магнетике, для тензора деформаций ${}^p S_i$ и индукции электрического поля D_i в пьезоэлектрике при поперечной ориентации полей имеют вид

$${}^m S_1 = {}^m s_{11} {}^m T_1 + {}^m q_{11} H_1, \quad (1)$$

$${}^p S_1 = {}^p s_{11} {}^p T_1 + {}^p d_{31} E_3, \quad (2)$$

$$D_3 = {}^p \varepsilon_{33} E_3 + {}^p d_{31} {}^p T_1, \quad (3)$$

где ${}^m s_{11}$, ${}^p s_{11}$ — компоненты тензора податливости магнетика и пьезоэлектрика соответственно; ${}^p \varepsilon_{33}$ — компонента тензора диэлектрической проницаемости пьезоэлектрика; ${}^p d_{31}$, ${}^m q_{11}$ — пьезоэлектрический и пьезомагнитный коэффициенты. При продольной ориентации электрического и магнитного полей в (1) вместо ${}^m q_{11} H_1$ будет ${}^m q_{31} H_3$.

Выражая из (1) компоненты напряжений через компоненты деформаций и подставляя их в уравнение движения среды, получим дифференциальное уравнение для x — проекции вектора смещения среды магнетика ${}^m u_x$, решение которого запишем в виде

$${}^m u_x(x) = A_1 \cos({}^m kx) + B_1 \sin({}^m kx), \quad (4)$$

где ${}^m k = \omega({}^m \rho {}^m s_{11})^{1/2}$, ${}^m \rho$ — плотность ферромагнетика.

Колебания среды магнетика вследствие махической связи вызывают колебания пьезоэлектрика, которые можно представить в виде суперпозиции колебаний, обусловленных связью с магнетиком, и собственных колебаний пьезоэлектрика, вызванных индуцированным электрическим полем. Поскольку контакт между слоями неидеальный, для смещений среды пьезоэлектрика ${}^p u_x(x)$ можно записать

$${}^p u_x(x) = \beta {}^m u_x(x) + (1 - \beta) {}^p u_x^{(0)}(x), \quad (5)$$

где $\beta \in (0, 1)$ — коэффициент связи между фазами, ${}^p u_x^{(0)}(x)$ — смещения пьезоэлектрика в отсутствие связи с ферромагнетиком. Решая уравнение движения среды не связанной с ферромагнетиком пьезоэлектрической пластинки, для смещений ${}^p u_x^{(0)}(x)$ получим выражение

$${}^p u_x^{(0)}(x) = \frac{{}^p d_{31} E_3}{{}^p k \cos({}^p kx)}, \quad (6)$$

где ${}^p k = \omega({}^p \rho {}^p s_{11})^{1/2}$, ${}^p \rho$ — плотность пьезоэлектрика; ${}^p k = {}^p kL$ — безразмерный параметр.

Постоянные интегрирования A_1 и B_1 находятся из граничных условий. Поскольку левая и правая грани образца свободные, результирующая сила, действующая на них, равна нулю. Следовательно, на левой и правой границах имеют место соотношения

$${}^m h {}^m T_1(-L/2) + {}^p h {}^p T_1(-L/2) = 0, \quad (7)$$

$${}^m h {}^m T_1(L/2) + {}^p h {}^p T_1(L/2) = 0. \quad (8)$$

С учетом (5) и граничных условий (7), (8) для смещений ${}^p u_x(x)$ в пьезоэлектрике получим выражение

$${}^p u_x(x) = \frac{\beta}{(\gamma + \beta)} \frac{\sin({}^m kx)}{{}^m k \cos({}^m k)} (\gamma {}^m q_{11} H_1 - \beta {}^p d_{31} E_3) + (1 - \beta) \frac{{}^p d_{31} E_3}{{}^p k \cos({}^p k)} \sin({}^p kx), \quad (9)$$

где ${}^m k = {}^m kL/2$, $\gamma = ({}^p s_{11}/{}^m s_{11})({}^m h/{}^p h)$ — безразмерные параметры.

Возникающую вследствие деформаций напряженность электрического поля в пьезоэлектрике найдем из уравнения (3) с использованием условия разомкнутой цепи, а именно

$$\int_0^w dy \int_{-L/2}^{L/2} D_3(x) dx = 0. \quad (10)$$

Подставляя полученные выражения в (10) и вычисляя интеграл для напряженности электрического поля в пьезоэлектрике E_3 , получим уравнение

$$E_3 = -\frac{\gamma \beta}{(\gamma + \beta)} \frac{{}^p d_{31} {}^m q_{11} \operatorname{tg}({}^m k)}{{}^p \varepsilon_{33} {}^p s_{11} \Delta_a} \frac{{}^m k}{{}^m k}}{H_1}. \quad (11)$$

Здесь введено обозначение

$$\Delta_a = 1 - \left(1 - (1 - \beta) \frac{\operatorname{tg}({}^p k)}{{}^p k} - \frac{\beta^2}{(\gamma + \beta)} \frac{\operatorname{tg}({}^m k)}{{}^m k} \right) K_{31}^2, \quad (12)$$

где $K_{31}^2 = {}^p d_{31}^2 / ({}^p \varepsilon_{33} {}^p s_{11})$ — квадрат коэффициента электромеханической связи пьезоэлектрика при планарных колебаниях.

Магнитоэлектрический коэффициент по напряжению для двухслойной структуры определим из соотношения

$$\alpha_E = E_{av}/H, \quad (13)$$

где $E_{av} = U/({}^m h + {}^p h)$ — среднее значение напряженности электрического поля в образце, U — возникающая разность потенциалов между электродами. Полагая, что все падение электрического напряжения происходит в пьезоэлектрике, для магнитоэлектрического коэффициента по напряжению при поперечной ориентации электрического и магнитного полей получим следующее выражение:

$$\alpha_{E,T} = -\frac{\gamma \beta}{(\gamma + \beta)} \frac{{}^p d_{31} {}^m q_{11} \operatorname{tg}({}^m k)}{{}^p \varepsilon_{33} {}^p s_{11} \Delta_a} \frac{{}^p h}{{}^m h + {}^p h}}. \quad (14)$$

При продольной ориентации электрического и магнитного полей (вдоль оси X_3) в выражении для магнитоэлектрического коэффициента вместо ${}^m q_{11}$ будет стоять ${}^m q_{31}$. Поскольку вследствие влияния размагничивающих полей величина ${}^m q_{31}$, как правило, меньше ${}^m q_{11}$, то и величина эффекта при продольной ориентации, как правило, на порядок меньше, чем при поперечной.

Из выражения (14) для магнитоэлектрического коэффициента следует, что при частотах, когда $\Delta_a = 0$ наблюдается резонансное увеличение магнитоэлектрического

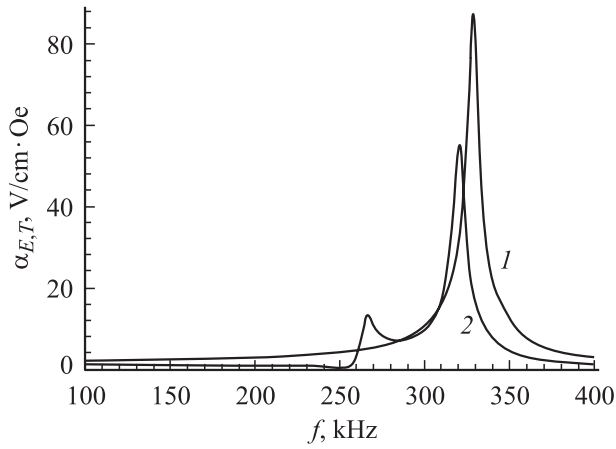


Рис. 2. Частотная зависимость магнитоэлектрического коэффициента по напряжению для структуры на основе пермендюра и цирконата-титаната свинца. 1 — $\beta = 1$, 2 — 0.4.

коэффициента. Потери, имеющие место в структуре, можно учесть через коэффициент затухания, представив круговую частоту в виде [8] $\omega = \omega' + i\chi$, где χ — параметр, характеризующий затухание. На рис. 2 представлены рассчитанные по формуле (15) частотные зависимости магнитоэлектрического коэффициента для структуры на основе пермендюр–ЦТС при различных значениях коэффициента связи β . При расчетах использованы следующие параметры: ${}^m s_{11} = 5.5 \cdot 10^{-12} \text{ m}^2/\text{N}$, ${}^m q_{11} = 63.75 \cdot 10^{-10} \text{ m/A}$, ${}^m h = 0.36 \text{ mm}$, ${}^p s_{11} = 15 \cdot 10^{-12} \text{ m}^2/\text{N}$, ${}^p d_{31} = -175 \cdot 10^{-12} \text{ m/V}$, ${}^p \epsilon_{33}/\epsilon_0 = 1750$, ${}^p h = 0.36 \text{ mm}$, коэффициент затухания $\chi = 20000 \text{ rad/s}$, длина образца $L = 7.5 \text{ mm}$, коэффициент связи фаз $\beta = 1$ и 0.4.

Как видно из рисунка, в случае жесткой связи ферромагнетика и пьезоэлектрика ($\beta = 1$) на частоте около 330 kHz для данных размеров образца наблюдается резонансное увеличение магнитоэлектрического коэффициента. Это увеличение коэффициента связано с резонансом в ферромагнетике. В случае, когда коэффициент связи меньше единицы, на частотной зависимости появляется дополнительный резонанс. В случае жесткой связи магнитное поле возбуждает механические колебания в ферромагнетике, и колебания пьезоэлектрика повторяют их. В случае, когда коэффициент связи меньше единицы, наряду с колебаниями среды пьезоэлектрика с параметром ${}^m k$ появляются колебания с параметром ${}^p k$, что и приводит к возникновению дополнительного пика на частотной зависимости магнитоэлектрического коэффициента по напряжению.

В области низких частот магнитоэлектрический коэффициент практически не зависит от частоты и его значение определяется выражением

$$\alpha_{E,T}^{\text{low}} = - \frac{\gamma\beta}{(\gamma + \beta)} \frac{{}^p d_{31} {}^m q_{11}}{{}^p \epsilon_{33} {}^p s_{11} (1 - K_{31}^2 \gamma\beta / (\gamma + \beta))} \times \frac{{}^p h}{({}^m h + {}^p h)}. \quad (15)$$

Из (14) следует, что величина магнитоэлектрического коэффициента зависит как от параметров магнетика и пьезоэлектрика, так и от процентного состава композита и коэффициента связи фаз. При малых значениях коэффициента связи β величина магнитоэлектрического коэффициента прямо пропорциональна ему, при стремлении β к единице зависимость становится более слабой. Как следует из (14) и (15), максимальное значение магнитоэлектрического коэффициента достигается при соотношении между толщинами слоев ферромагнетика и пьезоэлектрика, равном

$${}^m h / {}^p h = (\beta {}^m s_{11} / {}^p s_{11})^{1/2}. \quad (16)$$

В эксперименте [6] максимальное значение магнитоэлектрического коэффициента наблюдалось при значении толщины пьезоэлектрика ${}^p h = 0.6 \text{ mm}$ при толщине магнетика ${}^m h = 0.36 \text{ mm}$. Подставляя значения податливости для пермендюра и ЦТС, получаем согласие экспериментальных результатов с теорией при значении коэффициента связи $\beta \approx 1$.

Таким образом, механическое взаимодействие между магнитоэлектрической и пьезоэлектрической подсистемами в композиционных материалах на основе ферромагнетик–пьезоэлектрик приводит к возникновению магнитоэлектрического эффекта. Максимальное значение магнитоэлектрического коэффициента наблюдается при определенном соотношении между толщиной магнетика и пьезоэлектрика, значение которого зависит от коэффициента связи фаз и отношения модулей податливости ферромагнетика и пьезоэлектрика.

Список литературы

- [1] М.И. Бичурин, Д.А. Филиппов, В.М. Петров, G. Srinivasan. Физика электронных материалов. Мат. Междунар. конф. Калуга, Россия (2002). С. 309.
- [2] D.A. Filippov, M.I. Bichurin, V.M. Petrov, G. Srinivasan. Bull. American Phys. Soc. **48**, 214 (2003).
- [3] M.I. Bichurin, D.A. Filippov, V.M. Petrov, V.M. Laletsin, N. Paddubnaya, G. Srinivasan. Phys. Rev. B **68**, 132408 (2003).
- [4] Д.А. Филиппов, М.И. Бичурин, В.М. Петров, В.М. Лалетин, Н.Н. Поддубная, G. Srinivasan. ПЖТФ **30**, 1, 15 (2004).
- [5] Д.А. Филиппов, М.И. Бичурин, В.М. Петров, В.М. Лалетин, G. Srinivasan. ФТТ **46**, 9, 1621 (2004).
- [6] V. Laletsin, N. Padubnaya, G. Srinivasan, C.P. DeVreugd. Appl. Phys. A **78**, 33 (2004).
- [7] M.I. Bichurin, V.M. Petrov, G. Srinivasan. J. Appl. Phys. **92**, 12, 7681 (2002).
- [8] Р. Труэлл, Ч. Эльбаум, Б. Чик. Ультразвуковые методы в физике твердого тела / Пер. с англ. под ред. И.Г. Михайлова и В.В. Леманова. Мир, М. (1972). 307 с.